

- 3 Константинеску, В. Н. Газовая смазка / В. Н. Константинеску. – М. : Машиностроение, 1968. – 718 с.
- 4 Распопов, В. Я. Микромеханические приборы / В. Я. Распопов. – М. : Машиностроение, 2007. – 400 с.
- 5 Могилевич, Л. И. Продольные и поперечные колебания упругозакрепленной стенки клиновидного канала, установленного на вибрирующем основании / Л. И. Могилевич, В. С. Попов, А. А. Попова // Проблемы машиностроения и надежности машин. – 2018. – № 3. – С. 28–36.
- 6 Mogilevich, L. I. Mathematical modeling of elastically fixed wall longitudinal oscillations of wedge-shaped channel under foundation vibration / L. I. Mogilevich, V. S. Popov, L. N. Rabinsky // International Journal for Computational Civil and Structural Engineering. – 2016. – Vol. 12, no. 4. – P. 9–17.
- 7 Попов, В. С. Моделирование взаимодействия стенки канала с упругозакрепленным торцевым уплотнением / В. С. Попов, А. А. Попова // Компьютерные исследования и моделирование. – 2020. – Т. 12, № 2. – С. 387–400.
- 8 Попов, В. С. Моделирование гидроупругих колебаний стенки канала, имеющей нелинейно-упругую опору / В. С. Попов, А. А. Попова // Компьютерные исследования и моделирование. – 2022. – Т. 14, № 1. – С. 79–92.
- 9 Modeling nonlinear hydroelastic response for the endwall of the plane channel due to its upper-wall vibrations / M. Barulina [et al.] // Mathematics. – 2022. – Vol. 10. – Art. no. 3844.
- 10 Моделирование гидроупругого отклика пластины, установленной на нелинейно-упругом основании и взаимодействующей с пульсирующим слоем жидкости / Д. В. Кондратов [и др.] // Компьютерные исследования и моделирование. – 2023. – Т. 15, № 3. – С. 581–597.
- 11 Лойцянский, Л. Г. Механика жидкости и газа / Л. Г. Лойцянский. – М. : Дрофа, 2003. – 840 с.

УДК 535.243.25

ТРАНСПОРТНЫЕ ЗАДАЧИ ПО ФИЗИКЕ

B. И. ПОРТНОВ

Российский университет транспорта (МИИТ), г. Москва

Инженерная подготовка специалистов транспортной отрасли призвана выработать у обучаемых не только навыки анализа возникающих проблем, но и умение проводить необходимые (порой, стандартные) расчёты, позволяющие предложить обоснованное и безопасное решение этих проблем. В вузе выработка таких навыков способствует изучение естественных наук (математики, физики), причём особенно эффективно это происходит, если в качестве примеров разбираются задачи, связанные с практической деятельностью обучаемых.

Транспортные задачи – особый вид задач, которые возникают в процессе функционирования транспорта и транспортных систем.

К таким задачам можно отнести следующие.

1 Задачи типа задачи коммивояжёра, когда необходимо наиболее экономичным способом обойти несколько пунктов, расположенных произвольным образом.

2 Задачи по составлению расписания движения транспорта с учётом ограниченного числа путей и сложности и разнообразия грузоперевозок.

3 Задачи навигации и определения местоположения.

4 Задачи на относительность движения.

5 Задачи погони или убегания.

6 Задачи на мощность, развиваемую двигателем транспорта.

7 Баллистические задачи

8 Задачи, связанные с условиями перевозки хрупких или особо опасных грузов

9 Задачи на скорейшую погрузку-разгрузку.

10 Задачи на силы трения.

11 Задачи на реактивное движение.

12 Задачи на силу Кориолиса.

13 Задачи на эффект Доплера и ему подобные эффекты.

14 Задачи на аварийные ситуации (столкновения, опрокидывание, сход с пути и т. д.).

Приведём пример транспортных задач:

1 На плоскости закреплены базовые точки А (0, 0) и В (10, 0). Координаты измеряются в метрах. Определить модуль скорости точки С на плоскости, если в момент $t = 0$ углы САВ и СВА равны соответственно 75° и 85° , а в момент $t = 0,03$ с эти углы равны 76° и 83° . Считать движение равномерным и прямолинейным. Результат округлить до целых.

2 Автомобиль массы $m = 4$ т движется из пункта А в пункт В практически с постоянной скоростью. Расстояние от А до В $S = 250$ км. Сила трения $F = a + bv + kv^2$, где $a = 70$ Н; $b = 5$ кг/с, $k = 0,2$ кг/м – известные коэффициенты. Стоимость 1 Дж произведённой двигателем работы равна $w = 0,5$ руб./Дж. Прибыль от каждого рейса $W = 150$ млн руб. Какая скорость наиболее выгодна для работы на автомобиле? Ответ дать в км/ч, округлить до целых.

3 Необходимо переместить предмет на 5 км по горизонтали с помощью катапульты. Какую минимальную скорость необходимо придать для перемещения предмету, если сопротивление воздуха пропорционально квадрату его скорости, а вниз предмет летит с установленнойся скоростью 200 м/с.

Решения:

1 Первая задача довольно проста – находим угол С и используем теорему синусов. Угол С сначала был равен 20° , затем 21° . Соответственно АС было равно $10 \cdot \sin 85^\circ / \sin 20^\circ = 29,1268$ м, стало равно $27,69629$ м. Затем находим скорость $(-27,9409, -42,0242)$ м/с и её искомый модуль $50,46509$ м/с ≈ 50 м/с.

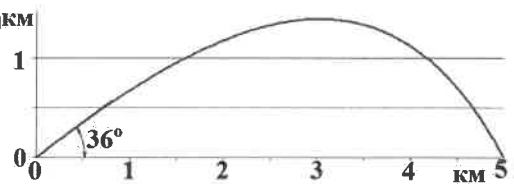
2 Во второй задаче можно получить аналитический результат. Работа силы трения за рейс равна $2FS$. Стоимость работы двигателя $2FSw$. Время рейса равно $2S / v$. За единицу времени можно сделать $v / 2S$ поездок, получив за них гонорар $vW / 2S$. Стоимость горючего при этом будет равна Fvw . Прибыль составит $v(W / 2S - (a + bv + kv^2)w)$. Производная этого выражения по скорости при достижении максимальной прибыли должна быть равна 0, поэтому $3kv^2 + 2bwv + aw - W / 2S = 0$. Подставляя значения, получим два решения, одно из которых положительно: $v = 22,534$ м/с. В пересчёте на км/ч получим $81,12 \approx 81$ км/ч.

3 Третья задача не может быть решена аналитическими методами. Пользуясь электронной таблицей Excel, была вычислена минимальная начальная скорость 417 м/с: она направлена под углом 36° к горизонту. Обратим внимание: оптимальный угол стрельбы оказался меньше 45° , несмотря на то, что оптимальный угол для больших пушек оказывался больше. Это связано с тем, что снаряды больших пушек большую часть времени летят на большой высоте в разреженной атмосфере.

Приведём кратко путь решения задачи в таблице Excel. Ниже приведены первые 6 строк таблицы и кратко описана последовательность действий:

	A	B	C	D	E	F	G	H	J	K
1	t	x	y	v_x	v_y	a_x	a_y	v	dt	0,1
2	0	0	0	337,3601	245,1065	-35,1698	-35,5523	417	v_0	417
3	0,1	33,56016	24,33288	333,8431	241,5512	-34,3913	-34,8837	412,0658	α	36
4	0,2	66,77251	48,31359	330,404	238,0628	-33,6381	-34,2369	407,2354	g	10
6	0,3	99,64472	71,94869	327,0402	234,6392	-32,9089	-33,6109	402,5057	k	0,00025

В ячейках A2, B2 и C2 записаны начальное время и начальные координаты (нули). В ячейках D2 и E2 – проекции начальной скорости: $D2 := K2 * \text{COS}(K3 * \pi / 180)$, $E2 := K2 * \text{SIN}(K3 * \pi / 180)$ (вместо π мы, конечно, пишем последовательность цифр 3,1415926...). В ячейке H2 – модуль скорости $H2 := \text{КОРЕНЬ}(D2^2 + E2^2)$, в ячейках F2 и G2 – проекции ускорения на ось x $F2 := -D2 * H2 * \$K\5 и ось y: $G2 := -\$K\$4 - E2 * H2 * \$K\5 , что можно записать как $a_x = -kv_x v$ и $a_y = -g - kv_y v$. Далее мы записываем приближённое решение уравнения движения по схеме Эйлера. В ячейку A3 – приращение времени $A3 := A2 + \$K\1 ($t_{\text{новое}} = t + dt$). В ячейки D3 и E3 новые скорости $D3 := D2 + F2 * \$K\1 , $E3 := E2 + G2 * \$K\1 (соответствует формулам $v_x \text{ новое} = v_x + a_x dt$, $v_y \text{ новое} = v_y + a_y dt$). В ячейки B3 и C3 записываются новые координаты $B3 := B2 + (D2 + D3) / 2 * \$K\$1$, $C3 := C2 + (E2 + E3) / 2 * \$K\$1$, что соответствует формулам $x_{\text{новое}} = x + 1/2(v_x + v_x \text{ новое}) dt$, $y_{\text{новое}} = y + 1/2(v_y + v_y \text{ новое}) dt$.



Полусумма новой и прежней скоростей даёт большую точность счёта. Затем копируем ячейки F2, G2 и H2 в F3, G3 и H3 соответственно, выделяем пул ячеек от A3 до H3 и копируем его в строки от 4-й до 2000. Затем мы при фиксированной скорости выстрела подбираем угол наибольшей дальности, а затем уменьшаем скорость до тех пор, пока дальность не станет равной заданному в задаче расстоянию. Траектория снаряда представлена на диаграмме справа, которая и использовалась при подгонке начальной скорости и угла.

Многообразие транспортных задач показывает необходимость хорошего знания математики и физики для поддержания всей системы транспорта в рабочем состоянии, а тем более для её развития. Возможно, следует уделить больше времени задачам на различные виды сил трения.

Многочисленные пособия и задачники как школьные [1–3], так и вузовские [4, 5], содержат множество транспортных задач самого разного уровня сложности и по различной тематике. Однако необходимо признать, что многие задачи, возникающие из практических нужд, порой повисают в воздухе из-за оторванности преподавателей одной учебной дисциплины от таких же преподавателей других дисциплин. Этую проблему может решить только более тесное сотрудничество преподавателей физики, математики и информатики со специалистами выпускающих кафедр вуза.

Список литературы

- 1 Сборник задач по физике / Л. П. Баканина [и др.]. – М. : Наука, 1969. – 416 с.
- 2 Перельман, Я. И. Занимательная физика / Я. И. Перельман. – М. : АСТ, 2023. – 352 с.
- 3 Кокин, С. М. Физика в истории железных дорог : учеб. пособие / С. М. Кокин, В. А. Селезнёв. – Долгопрудный : Интеллект, 2016. – 296 с.
- 4 Иродов, И. Е. Задачи по общей физике : учеб. пособие для вузов / И. Е. Иродов. – М. : Бином, 2012. – 431 с.
- 5 Сборник задач по общему курсу физики. В 5 т. / С. П. Стрелков [и др.]. – М. : Наука, 1977–1981.

УДК 539.3

ИССЛЕДОВАНИЕ ПЕРЕХОДНЫХ ВОЛНОВЫХ ПРОЦЕССОВ В СЛОИСТЫХ КОМПОЗИТАХ С НАСЛЕДСТВЕННЫМИ СВОЙСТВАМИ

С. Г. ПШЕНИЧНОВ

Научно-исследовательский институт механики МГУ им. М. В. Ломоносова, г. Москва,
Российская Федерация

Получены новые формы представления решений начально-краевых задач для кусочно-однородных тел (слоистых композитов) с линейно-вязкоупругими компонентами. При этом предполагается выполнение следующих требований.

1 На контакте однородных компонентов выполняются условия кинематической и динамической непрерывности.

2 Область изменения пространственных координат в математической постановке задачи (одномерная, двумерная, или трехмерная) является ограниченной.

3 Наследственные свойства компонентов определяются соотношениями линейной вязкоупругости в рамках модели Больцмана – Вольтерра.

4 Материалы всех компонентов удовлетворяют условию ограниченной ползучести.

Рассмотрены случаи, когда в интегральных соотношениях Больцмана – Вольтерра участвуют ядра релаксации или в виде конечных сумм экспонент, или в форме Ржаницына – Колтунова. Какой-либо зависимости между ядрами компонентов не предполагается.

Построение решений задач указанного класса основано на применении интегрального преобразования Лапласа по времени и его обращения. Считается, что решение задачи в пространстве изображений найдено и всё внимание уделяется построению оригинала в наиболее удобной форме. Для этого используются как прежние результаты, так и новые подходы.

Ранее было показано, что при регулярных наследственных ядрах в виде конечных сумм экспонент и некоторых дополнительных условиях построение решения рассматриваемой нестационарной задачи в оригиналах получается в виде ряда по вычетам в полюсах изображений. Это означает разложение решения в ряд по собственным формам свободных колебаний слоистого тела, и нестационарная задача фактически сводится к поиску элементов спектрального множества E на комплексной плоскости. В предыдущих работах был предложен метод поиска элементов множества E , которое имеет помимо бесконечно удаленной предельной точки конечные предельные точки на действительной оси. Вместе с тем при большом количестве слоев с неодинаковыми наследственными ядрами процесс численной реализации полученных формул существенно замедляется.

При сингулярных ядрах Ржаницына – Колтунова ранее была предложена формула, содержащая в качестве одного из слагаемых интеграл по мнимой оси. Под знаком этого интеграла зависящим от времени сомножителем является ограниченная функция, которая с ростом времени осциллирует всё быстрее и не стремится к нулю. В результате создаются определенные неудобства вычислений, если количество слоев композита достаточно велико.